

V-59

## 交番繰り返し荷重を受けるRC部材の履歴復元力特性のモデル化

○東北大學 学 倉田幸宏  
 東北大學 学 中村泰介  
 東北大學 正 尾坂芳夫

1.はじめに

コンクリート構造の耐震安全性を保証するためには、部材の終局に至る履歴復元力特性を把握することが極めて重要である。本研究では、RC部材の実験結果を基にして、同一変位において交番繰り返し荷重を受ける部材の各サイクルでの最大荷重は繰り返し数の増加と共に低下する現象と最大荷重以降の包絡線が低下する現象とを考慮した履歴復元力特性のモデル化の方法を提案することを目的としている。

2. 実験概要

表-1に供試体諸元を示す。

実験で用いた供試体は、1辺40cmの矩形断面を有し有効高さd=35cm、せん断スパン長a=140cmせん断スパン比a/d=4.0のRC柱である。変動要因は軸方向鉄筋比PL、帯鉄筋比PWおよび軸圧縮応力度σである。載荷は軸力を一定に保ち、正負交番繰り返し水平荷重を静的に加えた。初期曲げひび割れが発生したときの載荷点水平変位δcで交番繰り返しを1回、その後部材降伏変位δy（最外縁の軸方向鉄筋歪が降伏歪に達した時を降伏とした。）を基準に、その整数倍の各変位で5回づつ正負交番繰り返し載荷を行った。

3. 実験結果及び考察

## (1) 同一変位での繰り返しによる荷重の低下割合(R)について

同一変位での1サイクル目から2サイクル目の荷重の低下は3サイクル目以降の低下に比べてかなり大きく、各変位での1サイクル目からiサイクル目の荷重の低下割合(R)=(1-Pi/P1)は変形が進むにつれて小さくなる。ところがある変位レベルを超えると3サイクル目以降も大きく荷重が低下した（図-1参照）。繰り返しを受ける部材には、いわゆる安定変位レベル（同一変位で繰り返しを行うと荷重の値がある変位に収束する変位レベル）と不安定変位レベル（荷重がある値に収束せずに低下する変位レベル）とがある。これら両変位レベルの境界を終局と定義しその時の変位を終局変位とした。降伏以降の変位レベルでのの低下の割合(R)は次式で表すことができる。

$$R = a + b \cdot n$$

$$a = 19.24 - 0.68 \cdot PL - 62.6 \cdot (\sigma/f_c')$$

$$b = -2.84 - 1.09 \cdot PL + 8.08 \cdot PW$$

P1: 各変位での1サイクル目の荷重 Pi: iサイクル目の荷重

n=δ/δy (δyは部材降伏変位)

f\_c': コンクリート圧縮応力度 (kg/cm²)

以上のことから、軸方向鉄筋比や軸圧縮応力比が大きい程低下の割合は大きくなる。また帶鉄筋比が大きくなると低下の割合は小さくなる。

表-1 供試体諸元

柱N.O.	降伏変位 (mm)	軸方向鉄筋比 (%)	帯鉄筋比 (%)	軸力 δu/δy (kg/cm²)	柱頭
T-1	6.9	0.950	0.357	15	7
T-2	13.0	3.800	0.357	15	5
T-3	11.0	2.149	0.238	15	5
T-4	11.0	2.149	0.158	15	4
T-5	10.5	2.149	0.285	15	5
T-6	10.4	2.149	0.178	10	5
T-7	10.5	2.149	0.357	40	4
T-8	10.0	2.149	0.357	0	6
T-9	9.0	1.490	0.357	15	5
T-10	9.1	1.490	0.238	15	6
T-11	9.0	1.490	0.158	15	5

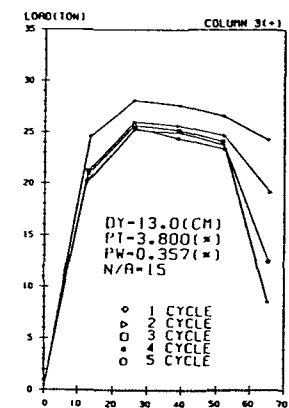


図-1 各サイクルの包絡線

(2) 1サイクル目の包絡線について(図-2参照)

①最大荷重 $P_{max}$ と降伏荷重 $P_y$ との関係

最大荷重はを $2\delta y$ で発生するものとする。

$$P_{max} = 1.2 P_y \quad (\text{平均値} = 1.19, \text{変動係数} = 2.77\%)$$

②最大荷重 $P_{max}$ と終局荷重 $P_u$ との関係

終局荷重 $P_u$ と $\mu = \delta u / \delta y$ は以下の式で与える。

$$P_u = 0.9 \cdot P_{max}$$

$$\mu = 6.2 - 3.1 \cdot \log PL - 23.8 \cdot \sigma / f_c + 4.6 \cdot (P_w)^{0.5}$$

4. 履歴復元特性のモデル化(図3～図5参照)

(1) 降伏前は原点指向型とする。

(2) 降伏後の包絡線を進む直線seg4について

載荷はseg4をそのまま進みU点を越えた時seg10を進む。

除荷はseg5へ進む。

(3) 降伏後の包絡線上からの戻りの直線seg5について。

載荷はseg5を戻り包絡線に達したらその直線上を進む。

除荷は除荷剛性 $K_m$ によって進み、荷重0点との交点を $X_0$ 点とする。 $K_m = (P_y / \delta y) (1/n)^{0.4}$ とする。

(4)  $X_0$ 点から最大点に向かう直線seg6について。

載荷は最大点を指向して進む。(最大点がY点に達してない場合はY点を指向して進む。) 包絡線に達したらその直線をそのまま進む。除荷はseg7にすすむ。

(5) seg6上の点からの戻りの直線seg7について

載荷はseg7をそのまま戻り、包絡線に達した場合その直線をそのまま進む除荷は除荷剛性 $K_m$ によって進み、荷重0点との交点を $X_1$ 点とする。

(6)  $X_1$ からU点に向かう直線seg8について

$U$ は既に述べた荷重低下率による低下点。載荷は包絡線に達するまではseg8を進み、包絡線に達した時その達した直線をそのまま進む。除荷はseg7に進む。

(7) seg8上の点からの戻りの直線seg9について

載荷はseg9をそのまま戻り、包絡線に達した場合その直線をそのまま進む除荷は除荷剛性 $K_m$ によって進み、荷重0点との交点を $X_2$ 点とする。

(8) 最大荷重後の包絡線上の直線seg10について

載荷は包絡線上を進む。除荷はseg9に進む。

(9) 終局荷重以降の包絡線上の直線seg11について。

載荷は包絡線上を進む。除荷はseg9に進む。

(10) 最大変位を下回って荷重が反転する場合の剛性は1サイクル前の剛性と等しいものとする。

(11) 終局以降の荷重0からの載荷は繰り返しの度に10%下がった荷重点を指向するものとする。

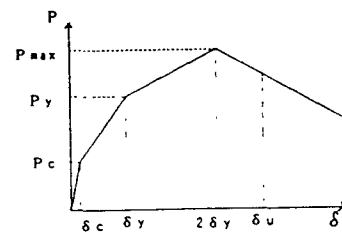


図-2 包絡線

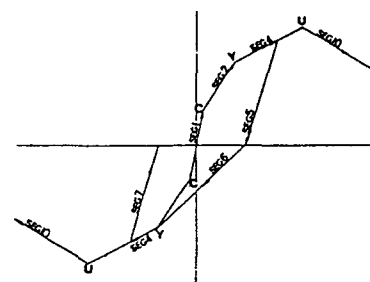


図-3 履歴ループのモデル化(1)

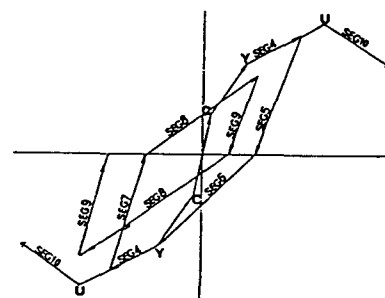


図-4 履歴ループのモデル化(2)

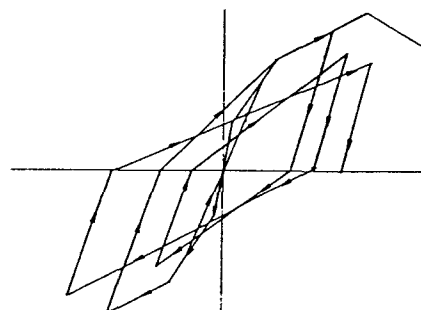


図-5 履歴ループのモデル化(3)